

## پترولوزی و دگرسانی توده‌های نفوذی مرتبط با کانی‌سازی طلای کوهزr تربت حیدریه

علیرضا مظلومی بجستانی<sup>۱</sup>، ایرج رسا<sup>۲</sup>

۱- گروه زمین‌شناسی دانشگاه پیام نور، مرکز مشهد

۲- دانشکده علوم زمین، دانشگاه شهید بهشتی، تهران

دریافت مقاله: ۱۳۸۸/۴/۲۸، نسخه نهایی: ۱۳۸۸/۱/۲۶

### چکیده

کانسار طلای کوهزr در شرق ایران و ۳۵ کیلومتری غرب شهرستان تربت‌حیدریه (استان خراسان رضوی) قرار دارد. این کانسار نوع اکسید آهن (IOCG) غنی از اسپکیولاریت است. این معدن در کمربند ولکانیکی-پلوتونیکی خواف-بردسکن واقع شده است. بی‌جوییهای اخیر در این کمربند موجب شناسایی ذخایر مختلف مس-طلای نوع غنی از اکسید آهن (IOCG) از جمله در کوه زر شده است. در ناحیه مورد مطالعه انواع توف و گدازه‌های اسیدی تا حد واسط مربوط به ائوسن فوقانی گسترش دارند. توده‌های نفوذی با ترکیب گرانیت، گرانوودیوریت، سینوگرانیت و مونزونیت‌های الیگومیوسن در آندزیت، داسیت و روپاداسیت ائوسن فوقانی نفوذ نموده‌اند. توده‌های نفوذی از سری مگنتیت، غنی از پاتاسیم و متالومینوس هستند. نمودارهای عنکبوتی گرانیت‌وئیدها غنی شدگی عناصر لیتوفیل با شعاع یونی بزرگ (Rb, K, Th, Ce) و تهی‌شدگی در عناصر Ti, Sr, Nb را نشان می‌دهند. براساس شاخصهای ژئوشیمیایی احتمالاً ماقماتیسم در حاشیه قاره‌ها صورت گرفته است. انواع دگرسانیهای پروپلیتیک (کلریتی)، سیلیسی، آلبیتی، آرژیلیکی، کربناتی و سریسیتی مشاهده شده‌اند. در توده‌های نفوذی دگرسانی آلبیتی و در سنگهای آتش‌فشاری دگرسانی پروپلیتیک (اپیدوتی) نمود بیشتری دارند. سیالات کانه‌دار با منشأ ماقمایی سبب کانی‌سازی اسپکیولاریت و طلا در سنگهای نفوذی و آتش‌فشاری شده‌اند. کانی‌سازی در راستای زونهای شکستگی و گسلی امتداد لغز و فضاهای کششی بین آنها رخ داده است. طلای آزاد همراه با کوارتز و اسپکیولاریت یافت می‌شود. ذخیره کانسار (در یخش اکتشاف شده) بالغ بر ۷۲۵ میلیون تن بوده و هم اکنون در حال بهره برداری و استحصال طلا می‌باشد.

واژه‌های کلیدی: کوهزr، پترولوزی، طلا، اسپکیولاریت، کوارتز، دگرسانی.

### مقدمه

و در رژیمهای زمین ساختی متفاوتی یافت می‌شوند<sup>[۴]</sup>. ذخایر IOCG در مراحل اولیه شناسایی قرار داشته و هنوز ابعاد مختلف آنها شناسایی و توصیف نشده است. نخستین بار در ایران این نوع از ذخایر توسط کریم‌پور و همکاران<sup>[۵]</sup> معرفی شده‌اند. کانسار طلای کوه زر یکی از این کانسارها است که در بخش مرکزی کمربند ولکانیکی-پلوتونیکی خواف-بردسکن قرار دارد. در کمربند مذبور انواع کانسارهای IOCG شناسایی شده‌اند<sup>[۵]</sup>. کانسار طلای کوه زر نوع خاصی از ذخایر IOCG

کانسار طلای کوه زر نوع خاصی از کانسارهای مس و طلا همراه با اکسیدهای آهن (IOCG<sup>[۱]</sup>) است<sup>[۱]</sup>. این کانسارها نخستین بار در سال ۱۹۹۲ توسط هیتزمن<sup>[۲]</sup> معرفی و بعدها توسط پژوهشگران مختلف توصیف و رده بندی شده‌اند. این گروه از ذخایر دارای مگنتیت و هماتیت (اسپکیولار) گرمابی و مقادیر قابل توجهی کالکوپیریت هستند<sup>[۲ و ۳ و ۴]</sup>. ذخایر یاد شده در ارتباط مستقیم با توده‌های نفوذی آذرین نوع I بوده

سنگهای آتشفسانی اسیدی تا حد واسط ترشیاری زیرین پوشیده شده است [۱۶و۱۵و۷و۱۴و۱۳] (شکل ۲). سنگهای آذرآواری به ویژه انواع توفها و گدازه‌ها به عنوان سنگ دربرگیرنده توده‌های نفوذی حضور دارند. توفها غالباً ترکیب ریولیتی تا ریوداسیتی داشته و گدازه‌ها ترکیب حد واسط دارند. توده‌های نفوذی با ترکیب حد واسط تا اسیدی (الیگو-میوسن) در بخش‌های شمالی و جنوب منطقه رخمنون دارند. این توده‌ها شامل کوارتز مونزوگابروپورفیری، مونزونیت، کوارتز‌مونزونیت، بیوتیت‌گرانوپورفیریت، مونزوگرانیت و سینوگرانیت است و سنگهای آتشفسانی را قطع کرده‌اند.

بر اساس شواهد صحرایی، یافته‌های چینه شناسی [۱۰] و شواهد نقشه زمین‌شناسی فیض‌آباد و تربت‌حیدریه [۷] فعالیتهای آتشفسانی در اوسن فوکانی صورت گرفته و فعالیتهای پلوتونیکی دست کم در الیگوسن به وقوع پیوسته است. با توجه به زونهای کانه‌دار که توده‌های نفوذی را قطع نموده و خود توسط پیروکسن آندزیت‌های پلیوسن تحتانی پوشیده شده، کانی‌سازی در محدوده الیگوسن تا انتهای میوسن قرار دارد [۱۳].

زون‌های کانی‌سازی به صورت رگه و رگه‌چهای موازی تا مقاطع در راستای N60°E تا 35°W N20° درون سنگهای آتشفسانی و توده‌های نفوذی قرار دارد. این رگه‌ها در راستای گسلهای امتداد لغزی قرار دارند که خود شاخه‌های فرعی از گسله اصلی درونه محسوب می‌شوند.

کانیهای تشکیل دهنده مناطق کانی‌سازی به ترتیب فراوانی عبارت است از: اسپکیولاریت، باریت، کالکوپیریت، گالن، اسفالریت، پیریت، آلانیت و مقادیر جزئی بورنیت، پیروتیت و آرسنوبیریت. کانیهای مارکاسیت، گوتیت، لپیدوکروسیت، مالاکیت، سروزیت، هیدروسروزیت، دیژنیت، کوولیت، پیرولوسیت و اسمیت زونیت به عنوان محصولات هوازدگی شناسایی شده‌اند.

کانیهای گانگ به ترتیب عبارت از: کوارتز، کلریت، کربنات آهن‌دار (سیدریت)، کلسیت و کانیهای رسی می‌باشد. در زونهای کانی‌سازی طلا در شکل ذرات آزاد (شکل ۳) ۲ تا ۱۸۰ میکرونی بوده و در هفت موقعیت مختلف استقرار یافته‌اند. بیشتر دانه‌های طلا در مجموعه کوارتر + اسپکیولاریت قرار دارد. براساس مطالعات سیالات درگیر [۱۵] و نتایج تجزیه ایزوتوب

است [۱]. کانسار یاد شده به دلیل شرایط منحصر به فرد کانی‌سازی مورد توجه زمین‌شناسان و پژوهشگران شاخه زمین‌شناسی اقتصادی است.

#### روش مطالعه

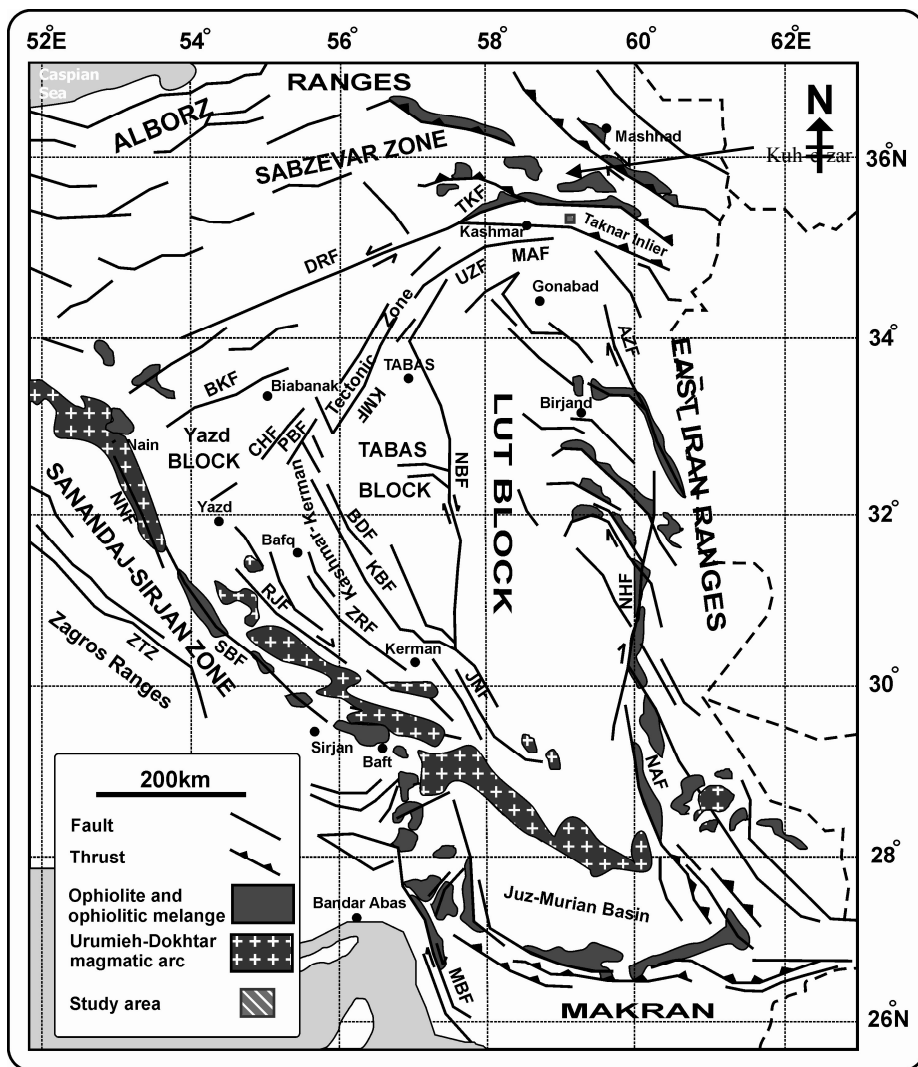
- مطالعات سنجش از دور از منطقه مورد نظر به منظور تهیه نقشه نواحی دگرسانی و کانی‌سازی.
- مطالعات صحرایی جهت تهیه نقشه زمین‌شناسی ۱/۲۰۰۰۰ از توده‌های نفوذی، سنگهای میزبان و نواحی کانی‌سازی.
- نمونه برداری از توده‌های نفوذی به منظور بررسیهای پتروگرافی، سنگ‌شناسی و تجزیه با دستگاه XRF مدل X-Unique در دانشگاه فردوسی مشهد (نمونه‌های استاندارد سازمان زمین‌شناسی امریکا و کانادا) و نیز اندازه‌گیری پذیرفتاری مغناطیسی سنگها.
- نمونه‌های زون‌های کانی‌سازی در آزمایشگاه‌های شرکت طلای موته و خارج از کشور به روش جذب اتمی و ICP تجزیه شده اند.

#### موقعیت جغرافیایی

کانسار طلای کوه‌ز در فاصله ۴۰ کیلومتری غرب شهرستان تربت‌حیدریه و ۳ کیلومتری جنوب روستای فدیهه در بین طولهای جغرافیایی ۵۸°۵۷' تا ۵۸°۵۷' شرقی و عرض جغرافیایی ۳۵°۲۰' تا ۳۵°۲۵' شمالی در استان خراسان رضوی قرار دارد (شکل ۱). این منطقه در محدوده نقشه زمین‌شناسی ۱/۲۵۰۰۰۰ تربت‌حیدریه [۶] و ۱/۱۰۰۰۰۰ فیض‌آباد [۷] واقع شده است.

#### زمین‌شناسی و کانی‌سازی

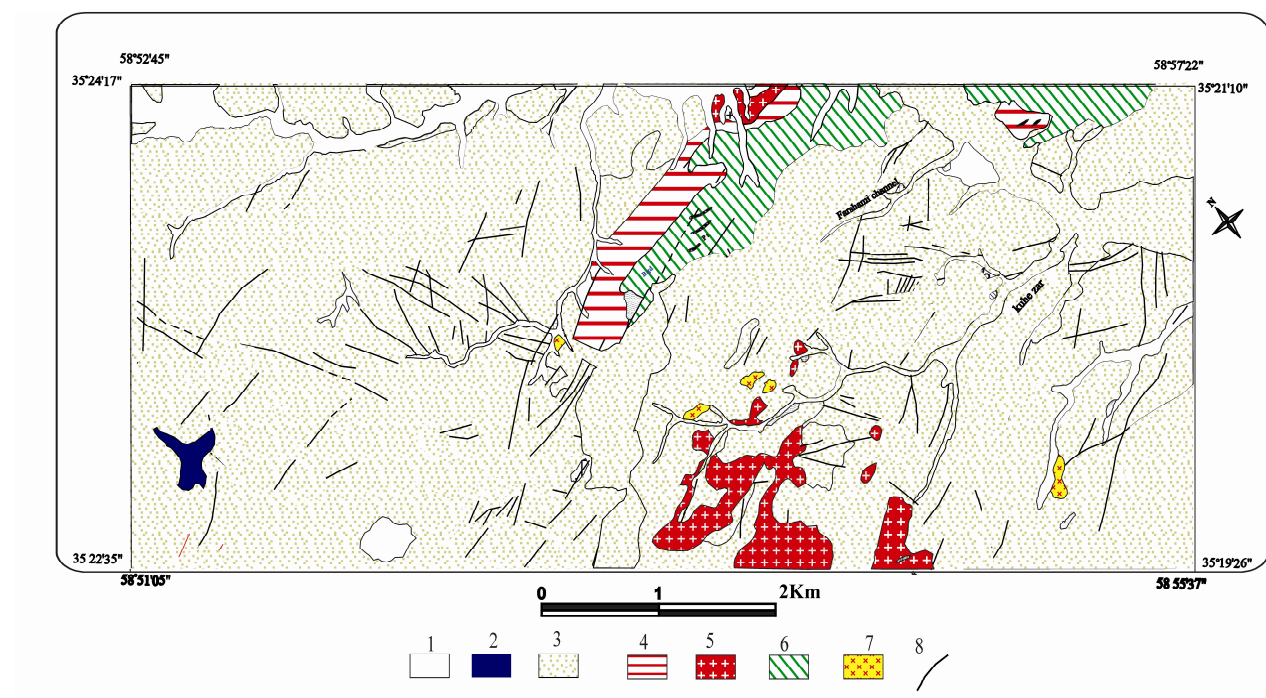
منطقه کوه زر در بخش مرکزی کمربند ولکانیکی - پلوتونیکی خواه - بردسکن [۱۵] بین دو گسل اصلی درونه در جنوب و تکنار (ریوش) در شمال قرار دارد. این کمربند به عنوان زون تکنار نیز معروفی شده است [۱۱و۱۲]. پژوهشگران مختلف در بررسیهای خود کانسارهای واقع در این کمربند را توصیف کرده، ضمن توجه به شاخصهای ژئوشیمیایی و زمین‌شناسی به این نتیجه رسیده‌اند که کمربند یاد شده در مقطع خاصی دارای شرایط زمین‌شناسی و ماگماتیسم ویژه‌ای بوده که موجب کانی‌سازی انواع مختلف کانسارهای رده اکسید آهن (IOCG) شده است [۱۳و۱۴]. بخش بزرگی از منطقه مورد مطالعه با



شکل ۱. نقشه تکتونیکی شرق- مرکز ایران [۸] با تغییرات جزئی [۹ و ۱۰] که واحدهای مختلف ساختاری آن را نشان می‌دهد.  
منطقه مطالعاتی و کمربند خواف - بررسکن در نقشه نشان داده شده است.

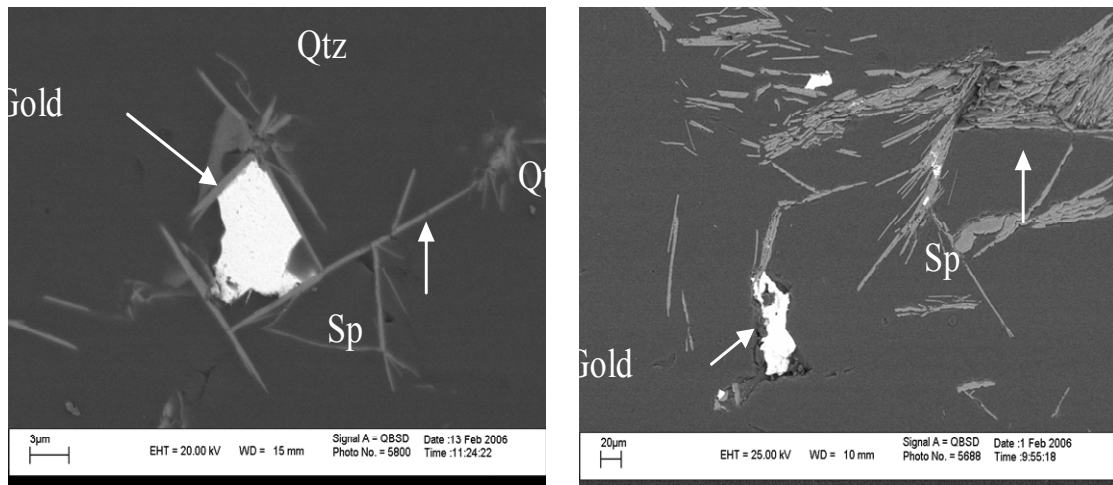
تن بوده و شرکت طلای زر مهر استخراج و تولید طلای این کانسار را بر عهده دارد.

های ثابت اکسیژن( $\delta^{18}\text{O}$ ) در کوارتز و سیدریت و گوگرد ( $\delta^{34}\text{S}$ ) در کالکوپیریت [۱۳] سیالات کانسار ساز منشأ ماقمایی داشته‌اند. ذخیره قطعی کانسار حدود ۷۲۳ میلیون



1- Recent Alluvium, 2- Basalt and pyroxene Andesite, 3- Volcanic rocks , 4- Syenogranite ,Porphyritic Syenogranite, 5- Monzogranite. granophyric monzogranite, 6- Biotite granodiorite ,Hornblende biotite Granodiorite, 7- Biotite granodiorite .Hornblende biotite granodiorite, 8- Fault

شکل ۲. نقشه زمین‌شناسی ساده شده منطقه کوه زر [۱۱].



شکل ۳. ذرات آزاد طلا در مجاورت یا محصور شده با اسپکیولاریت، خمیره سنگ از کوارتز تشکیل شده است.

**پتروگرافی:**

سرسیت از ۳۰ درصد حجمی بلورهای درشت تجاوز نمی‌کند. از ویژگیهای مهم این سنگ وقوع متاسوماتیسم آلکالی است که با حدوث بافت میرمیکیت نمود پیدا کرده است. پیشرفت میرمیکیت به داخل پلازیوکلاز از بلورهای درشت شروع شده در حالی که در بلورهای کوچکتر مشاهده نمی‌گردد. هورنبلند به طور کامل به کلریت آهن تجزیه شده است.

هورنبلاند بیوتیت گرانوپوریت: این سنگ دارای بافت گرانولار تا هیپ ایدیومورف گرانولار است. در این سنگ کوارتز به صورت بلورهای بی‌شکل (۳۰ تا ۲۰ درصد)، پلازیوکلاز در شکل کارلسbad (۳۵ تا ۴۰ درصد)، ارتوکلاز به صورت بلورهای بی‌شکل (۱۵ تا ۲۰ درصد)، بیوتیت در شکل بلورهای لوحه‌ای درشت بلورهای خوش فرم دارای منطقه بندی و ماکل کارلسbad (۱۵ تا ۲۰ درصد)، ارتوکلاز به صورت بلورهای بی‌شکل (۱۰ تا ۱۵ درصد) و هورنبلاند به صورت بلورهای کشیده کلریتی شده (۵ تا ۸ درصد)، از تشکیل دهنده‌های اصلی و زیرکان و آپاتیت مهمترین کانیهای فرعی سنگ می‌باشند. بلورهای پلازیوکلاز بین ۵ تا ۴۰ درصد سرسیتی شده‌اند. میزان دگرسانی سرسیتی در ارتوکلازها حداقل به ۱۰ درصد (حوالی توده‌های نفوذی) محدود می‌شود. بلورهای بیوتیت بین ۱۰ تا ۱۰۰ درصد به کلریت آهن (رپیدولیت) تجزیه شده‌اند. مقدار کانی تیره در کل سنگ ناچیز است.

بیوتیت گرانوپوریت: مجموعه گرانوپوریت گسترش قابل توجهی داشته و شباهت زیادی به یکدیگر دارند. بافت غالب این سنگها گرانولار بوده ولی بافت گرانوفیری نیز به عنوان بافت فرعی مشهور است. مقدار کوارتز این سنگ بین ۲۰ تا ۲۵ درصد، پلازیوکلاز ۳۵ تا ۴۰ درصد، فلدوپات پتاسیم ۱۰ تا ۱۵ درصد، بیوتیت ۵ تا ۱۰ درصد و هورنبلاند حداقل ۲ تا ۳ درصد است. بلورهای آپاتیت و اسفن نیز کانیهای فرعی سنگ می‌باشند.

درشت بلورهای پلازیوکلاز تا ۴۰ درصد به سرسیت تجزیه شده‌اند در حالی که بلورهای کوچکتر حداقل ۱۵ درصد این دگرسانی را تحمل نموده‌اند. دگرسانی سرسیتی در ارتوکلازها حداقل به ۱۵ درصد می‌رسد. بلورهای پلازیوکلاز تا ۱۵ درصد به کانی رسی تجزیه شده‌اند، در حالی که بلورهای ارتوکلاز سالم هستند. بلورهای بیوتیت تا ۸۰ درصد و بلورهای آمفیبول به طور کامل به کلریت تجزیه شده‌اند.

زون‌های خردشده و برشی شده نیز به طور کامل با کلریت

کوارتزمنزروگابروپورفیری: بافت این سنگ گرانولار تا ساب پورفیری است. حدود ۳۰ تا ۴۰ درصد بلورها کاملاً رشد یافته و مابقی خمیره سنگ را تشکیل داده است. پلازیوکلاز با ترکیب لاپرادریت تا آندزین (۶۰ تا ۷۰ درصد)، بلورهای بی‌شکل کوارتز (حداقل ۵ تا ۱۰ درصد) و آلکالی-فلدوپات از همین مقدار تجاوز نمی‌کند. درشت بلورهای شکل‌دار تا نیمه‌شکل‌دار پیروکسن (اوژیت) فراوان و حدود ۱۰ درصد از بلورها را تشکیل می‌دهد. مقدار آمفیبول حداقل به ۵ درصد می‌رسد.

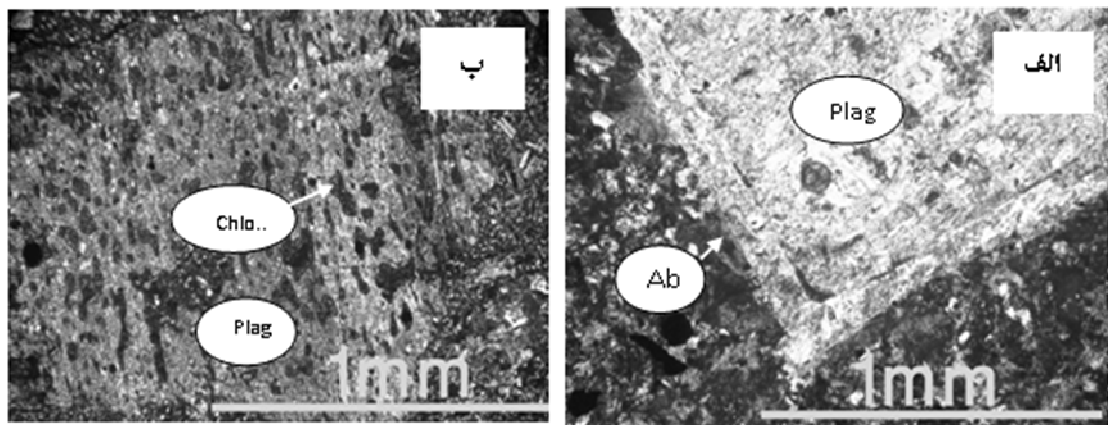
بلورهای درشت پلازیوکلاز به مقدار کم (حداقل ۱۰ درصد) به کانی رسی تجزیه شده‌اند. برخی از بلورهای پیروکسن به صورت جزئی کلریتی شده‌اند.

منزرونیت: این واحد سنگی دارای بافت گرانولار تا هیپ-ایدیومورف گرانولار بوده و از کانیهای پلازیوکلاز در حد آلبیت تا آندزین (۴۰ تا ۵۰ درصد)، فلدوپات آلکالی (۱۵ تا ۲۵ درصد)، کوارتز به صورت بلورهای بی‌شکل (۱۱ تا ۳ درصد)، هورنبلاند (۳ تا ۵ درصد)، پیروکسن در حد اوژیت (۵ تا ۷ درصد) و ۲ تا ۳ درصد بیوتیت تشکیل شده است

پلازیوکلاز تا ۴۰ درصد به سرسیت و کانیهای رسی تجزیه شده که البته مقدار سرسیت به مراتب از کانیهای رسی بیشتر است. سرسیتی شدن در بلورهای فلدوپات پتاسیم بین ۱۵ تا ۲۰ درصد است. از ویژگیهای این سنگ وجود حاشیه‌های مشخص آلبیتی در لبه پلازیوکلازهای درشت است (شکل ۴). کانیهای مافیک (بیوتیت و هورنبلاند) به کلریت آهن (رپیدولیت) تجزیه شده‌اند.

-کوارتز منزرونیت پورفیری: بافت غالب در این سنگ ساب پورفیری تا هیپ ایدیومورف گرانولار است و رشد در هم گرانوفیری و میرمیکیتی نیز مشاهده می‌شود. در ترکیب کلی سنگ مقدار کوارتز تا ۱۵ درصد حجمی افزایش یافته است. مقدار کلی پلازیوکلاز بین ۴۰ تا ۵۰ درصد، ارتوکلاز تا ۲۰ درصد، هورنبلاند (۴ تا ۵ درصد) و مقادیر جزئی بیوتیت کلریتی شده نیز در سنگ دیده می‌شود. کانیهای زیرکان و آپاتیت مهمترین کانیهای فرعی سنگ است.

پلازیوکلازها تا ۵۰ درصد به سرسیت تجزیه شده‌اند. این وضعیت در پلازیوکلازهای درشت کاملاً پیشرفت و در بلورهای کوچکتر حداقل ۱۰ درصد می‌رسد. دگرسانی ارتوکلاز به



شکل ۵. الف: تشکیل حاشیه آلبیتی در واحد کوارتز مونزونیت پورفیری. ب: بافت غربالی حاصل از جانشینی کلریت در پلازیوکلاز. (Ab : آلبیت، Chlo : کلریت، Plag : پلازیوکلاز).

بین ۵ تا ۱۰ درصد به کانیهای رسی تجزیه شده‌اند. سرسیتی شدن نمونه‌ها بسیار ناچیز و مقادیر جزئی کانی مافیک به طور کامل به کلریت آهن (رپیدولیت) تجزیه شده است. مقادیر قابل توجهی کلریت نیز فضای قطعات برش را پر نموده است. دایک و نفوذنامه‌ای تاخیری: رخمنون‌های کوچکی از دایک و توده‌های تاخیری در نقاط مختلف منطقه (درون توده های نفوذی) دیده می‌شوند. این توده‌ها عمدتاً بافت پورفیری داشته و دارای ترکیب هورنبلاند کوارتز مونزونیت پورفیری، گرانوودیبوریت پورفیری و آکالائی گرانیت آپلیت می‌باشند. به دلیل رخمنون و گسترش ناچیز از توصیف این واحد ها صرف نظر شده است.

### شیمی سنگ

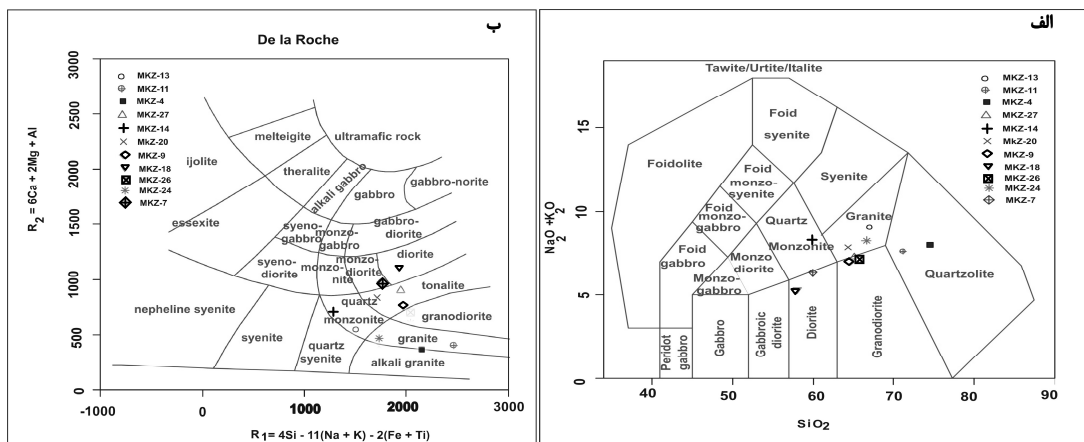
مطالعات پترولوزی ناحیه‌ای قبل از توسط گورابجیری پور [۱۷] انجام شده است. با توجه به شدت دگرسانی، نمونه‌های واحد کمترین میزان دگرسانی از توده‌های نفوذی برداشت و برای تجزیه‌های شیمیایی انتخاب شدند. نتایج تجزیه‌ها در جدول (۱) آمده است. مطالعات دگرسانی و پتروگرافی نشان دهنده وجود دگرسانی فراگیر پروپلتیک در کلیه سنگها و سایر دگرسانیها با شدت کمتر در برخی واحدهای سنگی است. لذا مطالعات مبتنی بر شیمی سنگ به تنها ای انتظارات پترولوزیکی را برآورده نمی‌کند. بدین منظور علاوه بر شیمی سنگ و پتروگرافی دقیق نمونه‌ها، خصوصیات پتروفیزیک (پذیرفتاری مغناطیسی) نیز اندازه‌گیری و در رده بندی آنها مورد استفاده قرار گرفت.

آهن (رپیدولیت) پوشیده شده است. مونزونوگرانیت تا گرانیت: بافت اصلی سنگ گرانولار و رشد توام گرانوفیری بافت فرعی سنگ محسوب می‌گردد و ظاهر پورفیریک به سنگ داده است. کوارتز (۳۰ تا ۲۵ درصد) هم به صورت بی شکل و هم به صورت گرانوفیری حضور دارد، پلازیوکلاز (۳۰ تا ۴۰ درصد)، ارتوکلاز (حداکثر ۳۰ تا ۴۰ درصد)، بیوتیت (۳ تا ۵ درصد) و آمفیبول (حداکثر ۳ تا ۵ درصد) تشکیل دهنده این سنگها می‌باشند. درشت دانه‌های زیرکان و اسفن نیز کانیهای فرعی محسوب می‌شوند. دگرسانی سرسیتی در این واحد به مراتب ضعیف تر از توده‌های گرانوودیبوریتی است. بلورهای پلازیوکلاز حداکثر تا ۲۰ درصد و به طور متوسط حدود ۱۰ درصد سرسیتی شده‌اند. در برخی نقاط حاشیه توده‌ای نفوذی بلورهای پلازیوکلاز تا ۱۵ درصد به کانی رسی تجزیه شده‌اند. کانیهای مافیک به طور کامل به کلریت آهن (رپیدولیت) تجزیه شده‌اند. مقادیر قابل توجهی کربنات کلسیم در محل زودومorfهای کانی مافیک مشاهده می‌گردد. سینوگرانیت: بافت سنگ گرانولار بوده و رشد توام گرانوفیری نیز به وفور دیده می‌شود. مقدار کوارتز این سنگ بین ۴۰-۳۵ درصد، فلدسپات پتاسیم (۲۵ تا ۳۰ درصد)، پلازیوکلاز (حداکثر ۳۰ درصد) و میزان کانی مافیک در برخی نمونه‌ها ۲ تا ۳ درصد است که در حال حاضر به صورت زودومorfهای کلریتی شده مشاهده می‌شود. در نمونه‌های منتخب این واحد دگرسانی آرژیلیک نسبتاً شدیدتر و سرسیستی ضعیفتر عمل کرده است. بلورهای پلازیوکلاز بین ۱۰ تا ۲۰ درصد و ارتوکلاز

برای تفکیک سنگهای نفوذی از اندیس آلکالی یا اندیس شاند (A/CNK) استفاده شده است [۲۰]. اندیس شاند در اغلب سنگهای نفوذی منطقه کوچکتر از ۱ بوده و در نورم غال آنها کرون‌دوم مشاهده نمی‌شود. لذا از نوع متا‌آلومینیوم هستند (شکل ۷). برخی از سینوگرانیت‌ها خصوصیات فوق آلومینیوم نشان می‌دهند. در شکل (۸) مقادیر اکسید سیلیسیم در مقابل اکسید پتاسیم سنگها نشان داده شده است. با توجه به این نمودار [۱۸] گرانیت‌وئیدهای منطقه به لحاظ پتاسیم بسیار غنی می‌باشند. نمودارهای عنکبوتی سنگهای گرانیت‌وئیدی [۲۲] غنی شدگی از عناصر لیتوفیل با شعاع یونی بزرگ (LILE=Ti, K, Th) را نشان می‌دهند (شکل ۹) که احتمالاً نشان دهنده مagmaتیسم در حاشیه قاره‌ها یا زون فروزانش است.

X-Unique XRF مدل با استفاده از استانداردهای سازمان زمین شناسی آمریکا و کانادا مورد تجزیه قرار گرفته‌است. به منظور نام گذاری توده‌های نفوذی از سه روش مدل و نمودارهای استاندارد [۱۸ و ۱۹] استفاده شد (شکل ۶). در جدول (۲) تجزیه‌های شیمیایی و در جدول (۱) ترکیب کانی شناسی سنگهای نفوذی بر اساس نورم (CIPW) ارائه شده است. با توجه به حدوث دگرسانی گرمابی، برخی کانی‌های نامتعارف به دست آمده که نباید به آنها توجه کرد.

بر اساس میدل موست [۱۸] گرانیت‌وئیدی منطقه شامل گرانیت، گرانو‌دیوریت، کوارتز‌مونزنیت، مونزنیت و دیوریت است. در رده بندی دلاروج [۱۹] انواع سنگهای آلکالی گرانیت، گرانیت، گرانو‌دیوریت، تونالیت، کوارتز‌مونزنیت و دیوریت شناسایی شده‌اند.



شکل ۶ (الف) نمودار میدل موست [۱۸]، (ب) نمودار دلاروج [۱۹] بر اساس اکسیدهای اصلی برای گرانیت‌وئیدهای منطقه کوه زر.

جدول ۱. تجزیه عناصر اصلی و فرعی نمونه‌های اخذ شده از توده‌های گرانیت‌وئیدی کوه‌زرا.

	MKZ <sub>۱۱</sub>	MKZ <sub>۱۰</sub>	MKZ <sub>۹</sub>	MKZ <sub>۸</sub>	MKZ <sub>۷</sub>	MKZ <sub>۶</sub>	MKZ <sub>۵</sub>	MKZ <sub>۴</sub>	MKZ <sub>۳</sub>	MKZ <sub>۲</sub>	MKZ <sub>۱</sub>
--	-------------------	-------------------	------------------	------------------	------------------	------------------	------------------	------------------	------------------	------------------	------------------

<b>SiO<sub>2</sub></b>	۶۳/۹۴	۶۲/۱۸	۶۴/۱۲	۶۱/۶۹	۶۱/۳۸	۵۵/۴۹	۶۴/۴۸	۶۳/۳۳	۵۷/۳۸	۶۹/۱۰	۷۲/۱۷
<b>TiO<sub>2</sub></b>	۰/۸۴	۰/۹۸	۰/۸۲	۰/۹۴	۱/۱۰	۱/۹۶	۰/۸۳	۱/۱۰	۲/۱۱	۰/۷۴	۰/۳۲
<b>Al<sub>2</sub>O<sub>3</sub></b>	۱۴/۴۱	۱۳/۶۳	۱۷/۱۹	۱۳/۳۴	۱۴/۱۶	۱۴/۵۶	۱۵/۵۰	۱۳/۹۲	۱۳/۹۲	۱۳/۶۸	۱۲/۴۸
<b>FeO</b>	۴/۹۰	۵/۳۲	۴/۰۶	۵/۹۳	۶/۵۰	۸/۰۵	۵/۳۱	۶/۰۲	۷/۶۸	۴/۹۶	۳/۶۱
<b>MnO</b>	۰/۱۸	۰/۱۵	۰/۱۹	۰/۱۸	۰/۳۳	۰/۳۳	۰/۱۹	۰/۲۵	۰/۲۶	۰/۱۹	۰/۱۴
<b>MgO</b>	۱/۵۴	۲/۲۷	۱/۴۸	۲/۵۴	۱/۵۱	۳/۵۶	۲/۵۸	۱/۷۰	۳/۳۴	۱/۲۴	۰/۱۸
<b>CaO</b>	۱/۶۵	۴/۷۸	۳/۵۹	۴/۱۵	۳/۸۵	۵/۹۲	۲/۵۳	۰/۹۹	۴/۹۸	۰/۶۷	۰/۶۵
<b>Na<sub>2</sub>O</b>	۴/۷۵	۳/۰۳	۲/۷۳	۳/۴۹	۲/۶۷	۲/۱۱	۲/۵۴	۲/۴۳	۲/۷۲	۱/۸۸	۵/۷۲
<b>K<sub>2</sub>O</b>	۴/۰۴	۴/۱۲	۴/۰۰	۴/۱۹	۴/۱۶	۳/۱۸	۳/۶۱	۴/۵۶	۳/۵۱	۵/۱۷۰	۲/۲۲
<b>P<sub>2</sub>O<sub>5</sub></b>	۰/۱۹	۰/۱۷	۰/۱۵	۰/۱۸	۰/۱۹	۰/۲۴	۰/۱۷	۰/۱۵	۰/۲۴	۰/۱۵	۰/۰۵
<b>L.O.I</b>	۲/۲۳	۱/۴۰	۳/۳۲	۱/۹۵	۲/۵۸	۳/۷۳	۲/۹۳	۲/۱۰	۲/۴۹	۱/۷۴	۱/۲۳

## نورم CIPW

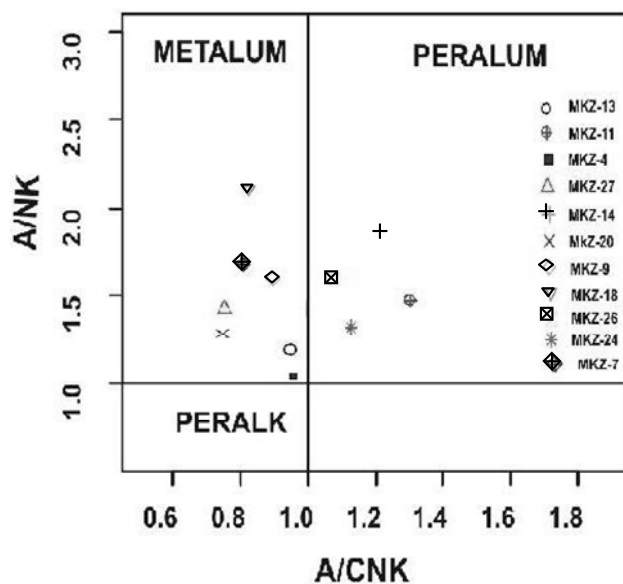
<b>Q</b>	۱۵/۸۳	۱۷/۹	۱۰/۲۸	۱۳/۲۱	۱۸/۹۶	۱۴/۳۷	۲۰/۳۱	۲۱/۶۹	۱۳/۱۲	۲۹/۷۳	۲۷/۶۱
<b>C</b>	۰/۰۰	۰/۰۰	۰/۵۷	۰/۰۰	۰/۰۰	۰/۰۰	۱/۵۷	۱/۹۰	۰/۰۰	۳/۵۵	۰/۰۰
<b>Or</b>	۲۳/۸۷	۳۴/۳۴	۲۸/۷۳	۲۴/۷۶	۲۴/۵۸	۱۸/۷۹	۲۱/۳۳	۲۶/۹۴	۲۰/۷۴	۳۳/۷۷	۱۳/۱۲
<b>Ab</b>	۳۷/۷۹	۲۵/۶۳	۲۷/۰۹	۲۹/۵۳	۲۲/۵۹	۱۷/۸۰	۲۹/۹۵	۲۹/۰۲	۲۳/۰۱۶	۱۶/۰۸	۴۸/۴۱
<b>An</b>	۶/۸۷	۱۱/۴۲	۱۰/۶۲	۸/۳۵	۱۴/۳۶	۲۰/۱۶	۱۱/۴۴	۲/۹۳	۱۵/۴۰	۲/۳۴	۱/۸۲
<b>Ac</b>	۰/۰۰	۰/۰۰	۰/۰۰	۰/۰۰	۰/۰۰	۰/۰۰	۰/۰۰	۰/۰۰	۰/۰۰	۰/۰۰	۰/۰۰
<b>Di</b>	۰/۰۵۸	۸/۹۶	۰/۰۰	۹/۰۸۶	۲/۱۸۹	۵/۵	۰/۰۰	۰/۰۰	۰/۰۰	۰/۰۰	۰/۸۷۱
<b>Hy</b>	۵/۰۲	۳/۲۴	۹/۸۱	۷/۰۳	۶/۱۷	۸/۱۲	۸/۰۳	۸/۶۴	۸/۶۴	۱۱/۳۲	۲/۷۱
<b>Mt</b>	۳/۹۳	۳/۵۹	۳/۵۳	۵/۰۱	۳/۷۷	۵/۲۳	۳/۳۴	۳/۲۳	۳/۷۷	۲/۴۹	۳/۳۶
<b>Il</b>	۱/۹۵	۱/۸۶	۲/۴۳	۱/۷۸	۲/۰۹	۳/۷۵	۱/۶۸	۲/۰۹	۴/۰۰	۱/۴۳	۰/۶۰۸
<b>Ap</b>	۰/۴۵۰	۰/۴۰	۰/۶۶	۰/۴۲۷	۰/۴۵۶	۰/۵۶۲	۰/۴۰۳	۰/۳۴۴	۰/۵۶۳	۰/۲۵۵	۰/۱۱۸
<b>Tn</b>	۰/۰۰	۰/۰۰	۰/۰۰	۰/۰۰	۰/۰۰	۰/۰۰	۰/۰۰	۰/۰۰	۰/۰۰	۰/۰۰	۰/۰۰
<b>Hm</b>	۰/۰۰	۰/۰۰	۰/۰۰	۰/۰۰	۰/۰۰	۰/۰۰	۰/۰۰	۰/۰۰	۰/۰۰	۰/۰۰	۰/۰۰

## عناصر فرعی (ppm)

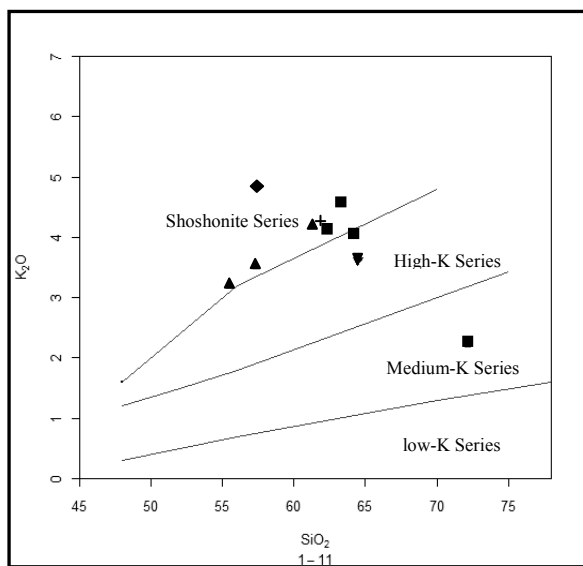
<b>V</b>	۹۳	۱۲۸	۱۵۸	۱۲۶	۱۱۶	۲۲۳	۱۱۱	۱۰۷	۱۹۱	۷۷	۵۴
<b>Cr</b>	۸۴	۹۰	۱۴۳	۷۶	۲۴۳	۱۷۰	۱۹۴	۳۰۸	۱۵۱	۹۰	۲۱۳
<b>Co</b>	۲۹	۳۱	۲۶	۲۵	۲۴	۲۷	۲۳	۲۸	۳۶	۳۴	۱۹
<b>Ni</b>	۳۹	۴۱	۲۴	۳۶	۳۹	۴۴	۴۰	۳۹	۴۶	۴۰	۴۲
<b>Cu</b>	۲۲	۴۳	۲۳	۵۴	۲۹	۲۰	۲۵	۲۰۴	۱۹	۴۵	۳۷
<b>Zn</b>	۲۶۲	۲۳۹	۲۰۶	۲۵۱	۲۹۹	۳۴۵	۲۲۱	۳۰۷	۲۹۲	۳۳۸	۳۳۸
<b>Rb</b>	۱۲۷	۱۲۴	۱۱۸	۱۳۰	۱۱۲	۹۳	۱۳۰	۱۲۱	۸۷	۲۰۲	۹۱
<b>Sr</b>	۱۷۸	۲۳۵	۲۱۲	۲۸۴	۲۳۱	۲۸۳	۲۶۲	۱۰۰	۲۹۷	۵۸	۱۰۲
<b>Y</b>	۱۷	۴۹	۴۲	۵۰	۴۶	۲۷	۶۱	۵۱	۱۵	۵۹	۴۵
<b>Zr</b>	۳۶۰	۱۸۹	۱۱۴	۱۷۷	۱۴۷	۱۲۸	۱۸۸	۱۳۲	۱۲۱	۱۴۵	۱۳۱
<b>Nb</b>	۱۰	۲۳	۲۱	۲۵	۲۳	۲۳	۲۴	۳۰	۱۰	۲۱	۳۶
<b>La</b>	-	۳۸	-	۴۹	-	۵۰	-	-	-	-	-
<b>Ce</b>	۹۱	۷۲	۱۱۹	۷۵	۱۱۰	۱۱۷	۸۵	۱۳۴	۹۴	۴۳	۳۰
<b>Ba</b>	۱۷۱۹	۱۳۰۷	۱۵۳۱	۱۳۳۶	۱۲۰۹	۱۳۰۶	۱۴۳۱	۱۶۹۹	۱۰۵۸	۱۴۶۲	۳۰
<b>Th</b>	۱۴۰	۸۷	۸۰	۹۸	۸۱	۸۴	۱۵۰	۱۲۱	۲۸	۷۹	۱۱۰
<b>La/Ce</b>	-	۰/۰۲	-	۰/۸۰	-	۰/۴۲	-	-	-	-	۱۵۱

جدول ۲. طبقه بندی گرانیت‌وئیدهای منطقه بر اساس اکسیدهای اصلی و پتروگرافی (Mode).

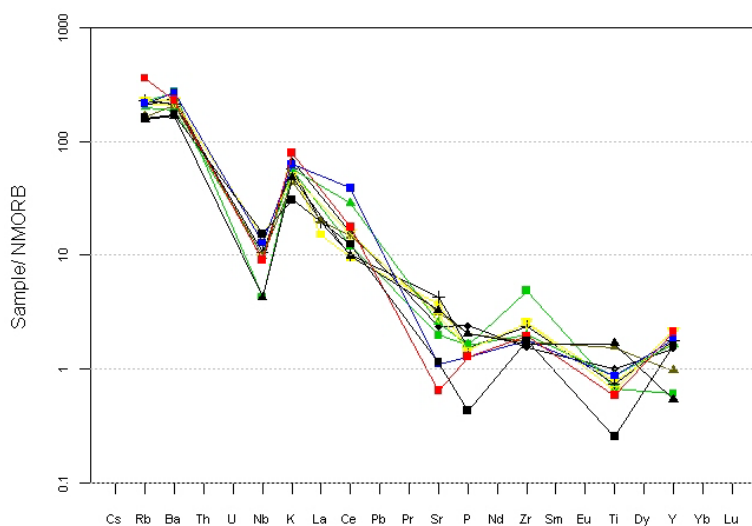
ردۀ بندی میدل موست [۱۸]	ردۀ بندی De la roche [۱۹]	پتروگرافی (براساس Mode)	شماره نمونه
دیوریت	دیوریت	هورنبلند بیوتیت گرانودیوریت	Mkz. ۱۸
گرانیت	آلکالی گرانیت	سینو گرانیت	Mkz. ۴
مونزونیت	مونزودیوریت	هورنبلند بیوتیت گرانودیوریت	Mkz. ۲۷
کوارتز مونزونیت	تونالیت	گرانیت گانوفیری	Mkz. ۷
گرانودیوریت	تونالیت	بیوتیت گرانودیوریت	Mkz. ۹
گرانودیوریت	گرانودیوریت	کوارتز مونزو گرانیت	Mkz. ۲۶
کوارتز مونزونیت	تونالیت	کوارتز مونزونیت پورفیری	Mkz. ۲.
کوارتز مونزونیت	کوارتز مونزونیت	گرانودیوریت	Mkz. ۱۳
کوارتز مونزونیت	گرانیت	گرانودیوریت	Mkz. ۲۴
مونزونیت	کوارتز مونزونیت	هورنبلند-کوارتز مونزونیت	Mkz. ۱۴
گرانیت	آلکالی گرانیت	مونزو گرانیت	Mkz. ۱۱



شکل ۷. بر اساس اندیس شاند [۲۰] اغلب گرانیت‌وئیدهای منطقه کوه‌زراز نوع متا‌آلومین هستند.



شکل ۸. بر اساس نمودار میدل موست [۱۸]، گرانیتوئیدهای منطقه در محدوده غنی از پتاسیم قرار دارند.

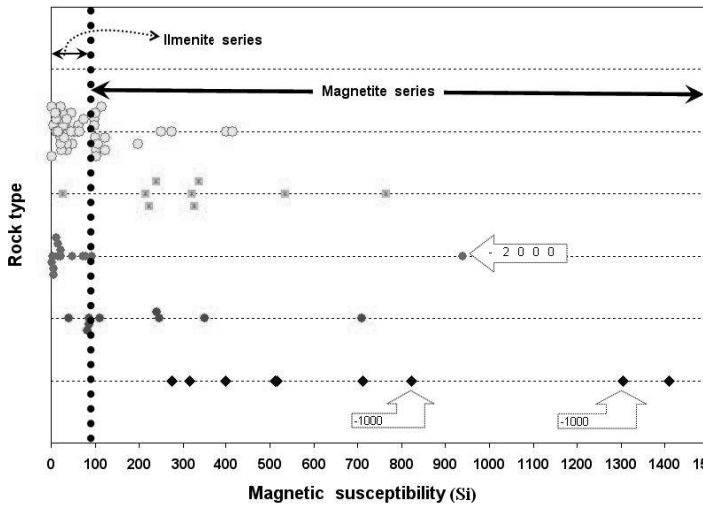


شکل ۹. نمودار عنکبوتی برای سنگ‌های گرانیتوئیدی منطقه کوهز که نسبت به کندریت عادی سازی شده است. بر اساس این نمودار عناصر Rb, K, Th, Ce غنی شدگی و عناصر Ti, Sr, Nb تهی شدگی دارند.

تودهای نفوذی مختلف مورد اندازه‌گیری و سنجش قرار گرفتند. نتایج به دست آمده در شکل ۱۰ نشان داده شده است. بر اساس این نمودار اکثر تودهای نفوذی در محدوده گرانیتوئیدهای نوع مگنتیت قرار گرفته‌اند. در تعدادی از نمونه‌های سینوگرانیت پذیرفتاری مغناطیسی پایین است.

#### پذیرفتاری مغناطیسی

ضمن مطالعات پترولوزی که مبتنی بر شیمی سنگ و پتروگرافی است به خصوصیات پetrofیزیک سنگ نیز توجه شده است. ایشی‌هارا [۲۳] یادآور شده که سنگ‌های متعلق به سری مگنتیت دارای پذیرفتاری مغناطیسی بیش از  $10^{-5} \times SI$  نمونه از می‌باشد. برای بررسی پذیرفتاری مغناطیسی ۶۵ نمونه از



شکل ۱۰. پذیرفتاری مغناطیسی در سنگ‌های نفوذی I محدوده سری ماگمایی قرار دارند. مقادیر پایین پذیرفتاری مغناطیسی زون‌های کانی‌سازی شده به دلیل شرایط فوق‌اکسیدان محلول گرمابی است.

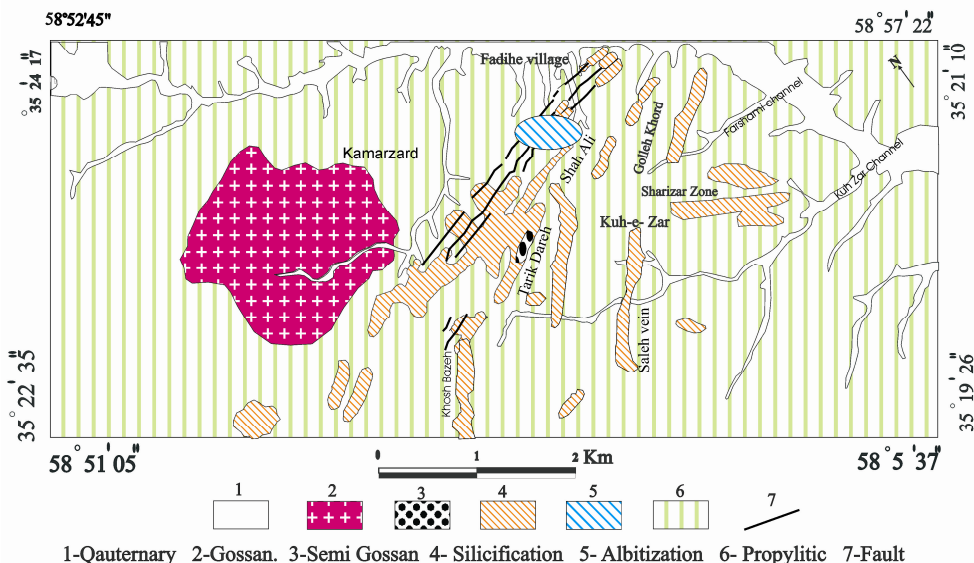
## دگرسانی

اسپیکیولاریت و طلا یافت می‌شود. در نواحی وجود ژاسپروئید، عیار طلا پایین است. کانی شاخص زون پروپلیتیک کلریت‌های غنی شده از آهن (رپیدولیت) است. کلریت به صورت جانشینی اسپیکیولاریت دیده می‌شود. دگرسانی آلبیتی با آلبیتی شدن پلاژیوکلازها در توده‌های نفوذی مونزوونیت، کوارتز مونزوونیت و بیوتیت گرانودیوریت رخ داده است. مقدار اکسید سدیم ( $\text{Na}_2\text{O}$ ) این سنگ‌ها تا ۷/۲٪ اندازه گیری شده است. دگرسانی سرسیتی فقط حریم توده‌های نفوذی یا در حد سرسیتی شدن جزئی درشت بلورهای پلاژیوکلازمحدود شده است.

## نتیجه گیری

توده‌های نفوذی با ترکیب حد واسط تا اسیدی از قبیل مونزوونیت تا سینوگرانیت در سنگ‌های آتش‌شانی سنوزوئیک بخش مرکزی کمربند خوف، درونه نفوذ کرده‌اند. سری ماگمایی سنگ‌ها از نوع کالک آلکالن غنی از پتابسیم است. پذیرفتاری مغناطیسی و شاخصهای ژئوشیمیایی گرانیتوئیدها نشان دهنده تعلق آنها به سری مگنتیت (I) است. نمودارهای عنکبوتی غنی شدگی از عناصر لیتوفیل با شعاع یونی بزرگ (LILE=Th, K, Rb) و تهی شدگی یکنواخت از عناصر با قدرت پایداری بالا (HFSE=Nb, Sr, Ti) را نشان می‌دهد که بیانگر پلوتونیسم در حاشیه‌های فعل قاره‌ای است. سنگ‌های

پدیده‌های دگرسانی که خود بخشی از سیستم‌های کانی‌سازی محاسب می‌شوند در حجمی بسیار گسترده‌تر از مناطق کانی‌سازی تجلی می‌یابند و بررسی آنها کمک شایانی به شناسایی نواحی امید بخش می‌کند. نواحی دگرسانی را در گستره کوههای زر محققان مورد بررسی قرار داده‌اند. [۱۳، ۲۴-۲۷]. در این بررسیها گسلهای ناحیه‌ای قابل تشخیص است، ولی به دلیل محدود بودن سولفیدهای اولیه در سیالات کانی‌سازی مناطق دارای اکسید آهن ثانویه (گوسان) تشکیل نشده است. لذا زونهای کانی‌سازی از مناطق دیگر به خوبی قابل تفکیک نیستند. سنگ‌های ناحیه به صورت گسترده‌ای تحت تاثیر دگرسانیهای مختلف قرار گرفته‌اند. دگرسانیهای شناسایی شده شامل پروپلیتی شدن، سیلیسی شدن، آلبیتی شدن و مقادیر جزئی آرژیلیتی شدن، کربناتی شدن و سرسیتی شدن است (شکل ۱۱). در سنگ‌های نفوذی و خروجی دگرسانی پروپلیتیک (کلریتی) به صورت یکسان گسترش دارد. دگرسانی آلبیتی و سرسیتی ضعیف فقط در توده‌های نفوذی، آرژیلیتی ضعیف در حواشی توده‌های نفوذی و اپیدوتی و آرژیلیتی ضعیف در سنگ‌های خروجی گسترش دارد. دگرسانی سیلیسی فقط در نواحی کانی‌سازی گسترش دارد. این دگرسانی با کانی‌سازی همراه بوده و به صورت غلافی نواحی کانی‌سازی را در بر می‌گیرد. سیلیس به صورت کوارتز ریز دانه در حالت‌های خاص در شکل ژاسپروئید است. غالباً همراه با سیلیس،



شکل ۱۱. نقشه دگرسانی منطقه کانی سازی طلای کوهزرا.

of protozoic Iron Oxide ( $Cu-U-Au-REE$ ) deposits", precamb. Res 58 ,(1992) 241-287.

[3] De Haller A., Fontboté L., "The Raúl-Condestable Iron Oxide Copper Gold Deposit, Central Coast of Peru: Ore and Related Hydrothermal Alteration, Sulfur Isotopes, and Thermodynamic Constraints", Econ. Geo., 104,3,(2009), p.365-384.

[4] Silitoe R .H., "Iron oxide-copper-gold deposits: an Andean view", Miner depos, 38, (2003), 787-812.

[۵] کریمپور م، ح مظلومی بجستانی ع، "گزارش اکتشافات طلا در منطقه کوهزرا تربت حیدریه"، گزارش داخلی شرکت طلای زرمههر، (۱۳۷۷)، ۱، ۳۱ صفحه.

[۶] واعظی پور م. ج، بهروزی، "نقشه زمین‌شناسی ۱ تربت حیدریه چهار گوش شماره ۵" سازمان زمین‌شناسی کشور، تهران، ایران (۱۳۷۰).

[۷] بهروزی الف، "نقشه زمین‌شناسی ۱۰۰/۰۰۰: ۱: ورقه فیض آباد"، ورقه شماره ۷۷۶۰، سازمان زمین‌شناسی کشور، ایران، تهران (۱۳۶۶).

[8] Alavi M., "Tectonic Map of Middle East", Tehran, GSI, Scale, 1:50000, (1991).

[9] Ramazani J., Tuker R.D., "The saghand region, central Iran: U-Pb Geochronology, Petrogenesis and Implications for Gondvana

منطقه به طور کلی تحت تاثیر دگرسانی فراغی-بر پوبلی-تیک قرار گرفته اند.

در توده‌های نفوذی مونزنونیت، کوارتز مونزنونیت، و هورنبلاند بیوتیت گرانودیوریت دگرسانی آبیتی مشاهده می شود. دگرسانی گرمابی در حاشیه رگه‌ها از نوع سیلیسی است که به صورت غلافی زون‌های کانی‌سازی را در بر گرفته است. دگرسانی آرژیلیکی و سرسیتی بسیار محدود بوده و در حریم توده‌های نفوذی دیده می شود.

#### سپاس‌گزاری و قدردانی

نویسنده‌گان از حمایتهای شرکت طلای زرمههر برای انجام این پژوهش و از آقای مهدی پور اسماعیل جهت خدمات فنی سپاس‌گزاری می نمایند.

#### مراجع

[۱] مظلومی بجستانی ع، کریم پور م. ح، رسا ا، رحیمی ب، وثوقی عابدینی م، "کانسار طلا کوه زر تربت حیدریه مدل جدیدی از کانی سازی طلا"، مجله ی بلور شناسی و کانی شناسی ایران، سال شانزدهم، شماره ۳، (۱۳۸۷)، صفحات ۳۶۳-۳۷۶.

[2] Hitzman W.M, Oreskes N., Einaudi M.T., "geological characteristics and tectonic setting

- [19] De La Roche H., Leterrier J., "Grandclaude, P., & Marchal, M., A Classification of Volcanic and Plutonic Rocks using  $R_1$ - $R_2$  diagram and major element analyses – its relationships with current nomenclature". Chem Geol, v.29, (1980), p.183-210.
- [20] Shand S.J., "Eruptive Rocks": T.Murby, London, (1947),488p.
- [21] peccerillo A. Taylor S. R., "Geochemistry of Eocene Calc- alkaline Volcanic Rocks From The Kastamonu area, Northern Turkey", Contributions to Mineralogy and Petrology, 58, (1976), 63-81.
- [22] Pearce J.a., Haris N.B.W. Tindle A. G., "Trace Element Discrimination Diagrams for Tectonic Interpretation of Granitic Rocks", Jornal of Petrology, 25, Part 4, (1984), 956-312.
- [23] Ishihara S., "Significance of the Magnetite-series and Ilmenite series of granitoids in mineral exploration", Fifth IAGOD Symposium, (1980), p.309-312.
- [۲۴] کفash طوسی م، ح، "گزارش پردازش تصاویر ماهواره‌ای منطقه کوهزr به منظور اکتشاف طلا"، گزارش داخلی شرکت طلای زرمه، (۱۳۷۸)، صفحه ۱۶.
- [۲۵] مظلومی بجستانی ع، همام م و کریمپور م، ح، "گزارش وقوع کانی دمورتیریت از منطقه سرسپیدار تربت حیدریه" ، چکیده مقالات دوازدهمین همایش بلور شناسی و کانی شناسی ایران، اهواز، (۱۳۸۳)، صفحه ۲۱۰-۲۱۴.
- [۲۶] شرکت طلای زرمه، "گزارش نهایی اکتشاف کانسار طلای کوهزr" ، گزارش داخلی شرکت طلای زرمه، (۱۳۸۳)، صفحه ۳۷۲.
- [۲۷] کریمپور م، ح، "کانی شناسی، دگرسانی، سنگمنشا و محیط تکتونیکی کانسارهای Iron Oxide Cu-Au و مثالهای از ایران" ، فشرده مقالات یازدهمین همایش بلور شناسی و کانی شناسی ایران، یزد، (۱۳۸۲)، صفحه ۱۸۹-۱۸۴.
- Tectonics", American journal of Science, 303,(2003), 622-665
- [10] Malekzadeh Shafaroodi A., Karimpour M.H., Mazaheri, A., "Rb- Sr and Sm- Nd Isotopic Compositions and Petrogenesis of Ore Related Intrusive Rocks of Gold-rich Porphyry Copper" , Maherabad Prospect area (North of Hanich), Eaes Iran, Jornal Of Crystallography & Mineralogy , in press.
- [11] Eftekharnezhad J., Aghanabati A., Baroyant V., Hamzehpour B., "'Geological Quadrangle Map of kashmar", 1: 250000", GSI, Tehran, Iran, (1976).
- [12] Lindenberg H.G., Gorler K., Ibbeken H., "Stratigraphy, "structure and orogenic evolution of the sabzevar zone in the area of oryan Khorasan, NE Iran", GSI, Rep. No. 51, (1983), 119-143, Tehran Ira.
- [۱۳] مظلومی بجستانی ع، "کانی شناسی، ژئوشیمی و کانسارسازی طلا و تنگستن در منطقه کوه زر تربت حیدریه" ، رساله منتشر نشده دوره دکتری زمین شناسی اقتصادی دانشگاه شهید بهشتی (۱۳۸۷)، ۲۹۱ صفحه.
- [۱۴] قائمی ف، "مطالعات زمین‌شناسی منطقه کوهزr" ، گزارش داخلی شرکت طلای زرمه (۱۳۷۷)، ۶۷ صفحه.
- [۱۵] مظلومی بجستانی ع، کریمپور م، ح، رساء، الف، و ثوقی - عابدینی، م، "کاربرد مطالعات حرارت‌سنگی در اکتشافات کانسار طلای کوهزr تربت حیدریه" ، مجله علوم زمین دانشگاه شهید بهشتی (پاییز ۸۵)، شماره شانزدهم، صفحات ۱۱۷ الی ۱۳۰.
- [16] Mazloumi A.R., Karimpour M.H, Stern C.R., Rasa I., Saadat S., "Fluid Inclusion Thermometry, s-isotop,petrology of Kuh-e-e Zar specularite rich Iron Oxide Gold deposit" north eastern Iran. Gsa abstract 39,6, (2007), Abs.No.122959.
- [۱۷] گورابجیری پور آرش، "پترولیوی و پتروزنر منطقه کوهزr (تربت حیدریه) با نگرش ویژه بر کانه‌زائی طلا" ، پایان نامه منتشر نشده دوره کارشناسی ارشد دانشگاه شهید بهشتی (۱۳۷۹)، ۱۲۶ صفحه.
- [18] Middlemost E.A.K, "Magmas and Magmatic Rocks", Longman, London and New York, (1985), 266p.